

円柱橋脚周辺における局部洗掘に関する実験的研究

京都大学工学部 正員 中川 博次
京都大学工学部 正員 ○鈴木 幸一

1. まえがき

橋脚周辺の局部洗掘は、流れの場と河床境界面との相互作用による非常に複雑な現象である。従来より一次元解析に基づく実験的研究が石原ら¹⁾によって行なわれてきた。また、Laursen²⁾、齊藤³⁾は洗掘形状の相似性を仮定し、流砂の一次元連続式から最大洗掘深を求め、Schneider & Shan⁴⁾、田中⁵⁾は、橋脚周辺での三次元境界層剥離に起因する馬蹄形渦に注目して洗掘機構を論じてある。また、Gradowczyk⁶⁾によると剥離域の外側のみに着目し、そこでの流線方向に沿って流砂の一次元解析を行ない、実験的に検証したものなど、これらはモデルが試みられており、まだ統一的説明を得るに至っていない。本研究では、これらのモデルの基礎となる洗掘特性を実験により適確に把握しようとしたものである。

2. 実験条件および実験方法

実験条件は、表-1に示すとおりである。

D は円柱径、 d_{50} は砂の中央粒径である。 $V_s = \sqrt{(c_0 p - 1) g d_{50}}$ で c_0 は限界掃流力、 h_0 、 U_b 、 U_{eo} はそれより上流側基準断面での水深、平均流速、摩擦速度である。実験水路は長さ 14 m 、幅 98 cm の木製水平に設置された。

洗掘深の時間変化は先に小円盤のついたボルトゲージで測定し、洗掘形状は徐々に排水したあと系によって等高線をつくり写真によって記録した。

3. 最大洗掘深の時間変化特性

最大洗掘深として後述べよう。図-4のB点での測定値で代表させ、その時間変化を示せば図-1のようになる。次元解析によると無次元パラメータを検討した結果、この図で明らかのように、 U_{eo}/V_s によって円柱径で無次元化された最大洗掘深 Z/D が Z/D 分けで $2/3$ となるわかる。時間 t を表す無次元量 $t U_e / D$ に対する Z/D の変化は指數関数的であるが、ある時間まで一定と直線のこう配の変化し、洗掘速度が非常に緩慢になる。 U_{eo}/V_s が大きいほどこう配の変化点の

表-1 実験条件

No.	Q (l/sec)	D (cm)	d_{50} (cm)	h_0 (cm)	U_{eo} (cm/sec)	U_b (cm/sec)	U_{eo}/U_b	h_0/d	$R = U_e D/d$		
1	34.8	14.0	0.193	17.06	20.80	1.31	3.26	17.70	0.074	1.22	2.24×10^3
2	+	+	+	1362	26.05	1.75	+	+	0.099	0.97	2.81 ..
3	+	+	+	958	37.04	2.65	+	+	0.150	0.68	3.99 ..
4	+	8.9	+	17.06	20.80	1.31	+	+	0.074	1.92	1.42 ..
5	+	+	+	1362	26.06	1.75	+	+	0.099	1.53	1.78 ..
6	+	+	+	958	37.04	2.65	+	+	0.150	1.08	2.53 ..
7	+	+	0.083	17.06	20.80	1.18	2.14	11.58	0.102	1.92	1.42 ..
8	+	+	+	1362	26.06	1.57	+	+	0.138	1.53	1.78 ..

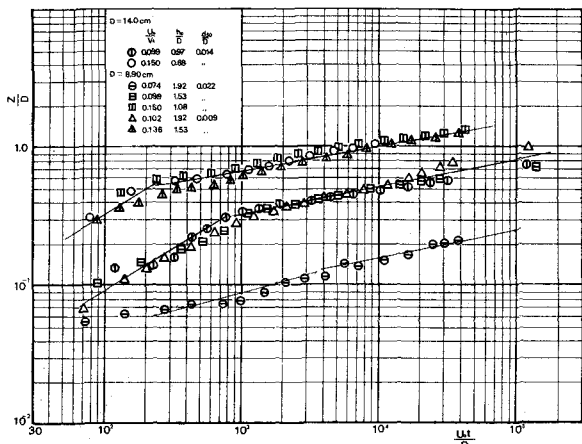


図-1 最大洗掘深の時間変化

U_{st}/D の値は小さい。 U_{st} は上流側の摩擦速度であり、円柱のまわりの局所的摩擦速度と線型関係があるといいうわけではないが、それを支配するものと考えられ、 V_s がある意味で限界掃流力を代表しているので、 U_{st}/V_s は掃流力と限界掃流力の比を表わしていいと考えられる。

4. 洗掘形状

洗掘形状の時間的变化については各実験とも同じ特性を示したので、ここでは、実験No.7を代表例として説明することとする。図-2は洗掘形状の時間変化を示したものであり、通水後10分、30分、1時間、3時間、13時間における洗掘および堆積の等高線図である。①は10分後のもので、明らかに円柱側面での洗掘が最も進んでいる。側面に比べて前面がまだあまり掘られていらない。横断方向の洗掘範囲は流下方向のそれに比べて時間的に緩慢である。以下巨視的にみれば、洗掘の初期を除くことは、洗掘孔はほぼ相似性を保つものとみられる。今までも少し検討するため、 $Y=0$ と $X=0$ の2つの断面内の洗掘形状の時間変化を図-3に示す。任意点からの原河床からの洗掘(または堆積)深さがどの時の最大洗掘深度無次元化されていく。図-3①は円柱前面での変化を示したものであるが、各時間ごとの洗掘形状の差異は認められず、ほぼ時間的に相似性を保ちながら洗掘が進行していくものといえよう。この場合は偏斜角はほぼ 45° で水中安息角に近い。②図は後流域の状態を示しており時間毎にかけては、堆積域が拡がっていき、③図は円柱側部での横断方向変化を示したものであるが、時間とともに、洗掘孔側面の偏斜は徐々に増す傾向があることを示していく。また、必ずしも直線で表わされることはなく複雑な時間的变化を示していく。これは後流域の堆積の影響が微妙にされているためと思われる。

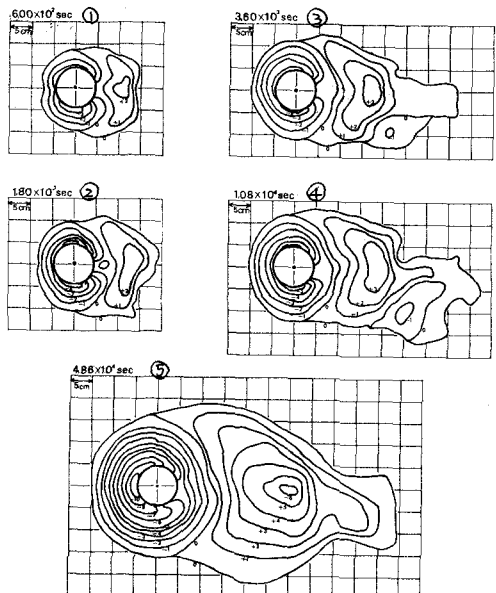


図-2 洗掘形状の時間変化

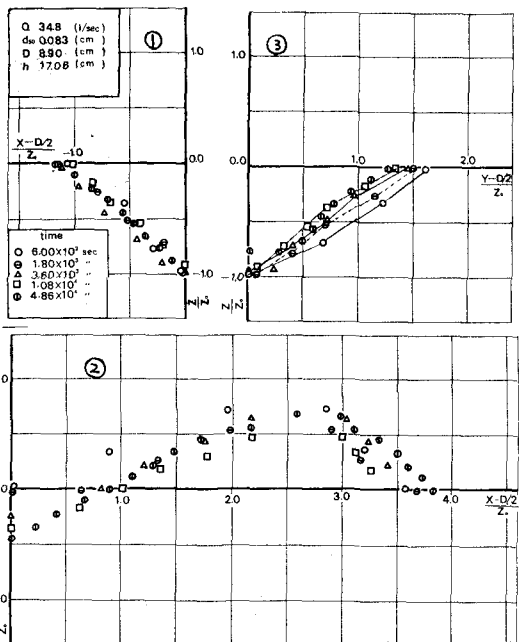


図-3 洗掘形状

5. 場所的洗掘特性

図-4は実験No.7についての内柱の前面、斜め前面、側面。各点における洗掘深の時間的变化を示したものである。この図によると、洗掘初期においては側面のC点およびB点では前面のA点におけるよりも早く洗掘され、次第にその差が縮まり、最終的にはC点が最も浅くなることである。また、洗掘特性は点A, B, Cで異なっており、C点では初期に大きく洗掘され、ある時間でゆるやかになる。また、A点では逆に初期とC点に比してより洗掘が進むが、時間がたつにつれて徐々に大きくなることがわかる。

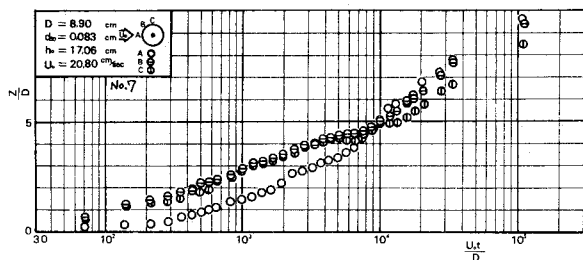


図-4 洗掘深の時間変化

6. 洗掘機構に関する考察

実験結果および観察に基づいて洗掘機構に関する若干の考察を加える。洗掘過程は主流、馬蹄形渦の運動とともに伴なう流砂との相関関係において論じられ、ほぼ次の4つの段階に分けられる。

A) 主流による掃流過程

B) 馬蹄形渦の洗掘孔内の発達過程

C) 安定渦による洗掘過程

D) 堆積による流れの変化過程

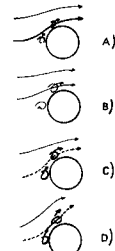


図-5は各過程での主流と渦の強さの関係を概念的に示す。

A) 過程では馬蹄形渦は弱く、洗掘は主に流速の

内柱側面での卓越によって増加した掃流力によつてなされ、

図-5 主流と渦の関係

程度一次元的な掃流公式を適用できると考えられる。B), C) 過程と馬蹄形渦の作用が強くなり、洗掘特性が異なって、渦によって砂がまき上げられ主流によって運ばれる。

D) 過程は、C) 過程の後で起つてはなく堆積が進むにつれて徐々に進行する。流れの変化がまた洗掘特性に影響して最終安定状態は得られない。

7. まとめ

内柱周りの局部洗掘機構は非常に複雑であり、ごく巨視的に洗掘の時間変化過程を示しにべ、各過程における洗掘特性が異なっており、今後、特に三次元境界層剥離による馬蹄形渦の特性を把握していく必要がある。

参考文献

- 1). 石原藤次郎：橋脚による河床洗掘に関する実験的研究、土木学会誌第24巻1号(昭13.1)
- 2). Larsen, E.M.: An analysis of relief bridge scour, Trans. A.S.C.E., Vol. 89, 1963, pp.93~118
- 3). 斎藤隆, 他: 内柱周囲の洗掘について、山口大学工学部研究報告、第20巻1号(昭44.9)
- 4). Roper, A., Schneider, V.R. & Silen, H.W.: Analytical approach to local scour, Proc. of I.A.H.R. 1967 vol.3
- 5). S. Tanabe, M. Yano: Local scour around a circular cylinder, Proc. of I.A.H.R. 1967 vol.3.
- 6). Gradauszyk, K.: Localized scour in erodible-bed channels, Jour. of Hydraulic Research, Vol. 6, No. 4, 1968